

مکان‌یابی منابع میدان نزدیک در محیط‌های ناهمگن

عاطفه قلی‌پور^۱، بیژن ذاکری^{۲*}، خلیل مافی‌نژاد^۳

۱- دانشجوی دکتری، دانشکده مهندسی برق، دانشگاه فردوسی مشهد، ۲- استادیار، دانشکده مهندسی برق، دانشگاه صنعتی نوشیروانی بابل،

۳- استاد، دانشکده مهندسی برق، دانشگاه فردوسی مشهد

(دریافت: ۹۴/۰۷/۱۹؛ پذیرش: ۹۵/۰۴/۱۲)

چکیده

مکان‌یابی منابع یکی از مسائل مهم در زمینه پردازش سیگنال‌های آرایه‌ای در کاربردهای راداری و سوناری است. کارایی الگوریتم‌های موجود برای مکان‌یابی در شرایط واقعی به شدت کاهش می‌یابد. یکی از شرایطی که باعث این کاهش کارایی می‌شود، تلفات همبستگی موج منتشرشده در اثر عبور از محیط ناهمگن است. در این مقاله روشی برای مکان‌یابی منابع میدان نزدیک شامل تخمین زاویه ورود سیگنال و فاصله در حضور ناهمگنی محیط ارائه شده است. با توجه به نتایج شبیه‌سازی‌های انجام‌شده، مشاهده می‌شود روش ارائه‌شده خطای کمتری را نسبت به روش‌های موجود برای مکان‌یابی منابع میدان نزدیک دارد.

واژگان کلیدی

مکان‌یابی منبع، زاویه ورود سیگنال، محیط ناهمگن، تلفات همبستگی موج، نویز ضرب‌شونده.

۱. مقدمه

مراتب بالاتر ESPRIT [۷-۸]، استفاده از Cumulant [۹] و Generalized ESPRIT [۱۰-۱۱].

روش‌های ذکرشده برای حالت ایده‌آل و در نظر گرفتن محیط همگن ارائه شده‌اند. یکی از شرایط محیطی واقعی برای مکان‌یابی عدم همبستگی محیط است که سبب کاهش همبستگی موج می‌شود به عبارت دیگر دامنه و فاز موج برای هر المان آرایه همبستگی کامل ندارند. این تلفات همبستگی در بسیاری از کاربردهای راداری و سوناری اتفاق می‌افتد که نتیجه عبور موج از محیط ناهمگن است. روش‌های ذکرشده در حضور این شرایط کارایی مناسبی از خود نشان نمی‌دهند.

روش‌هایی برای تخمین DOA در میدان‌های دور در محیط‌های ناهمگن ارائه شده است [۱۲-۱۷]؛ ولی اثر محیط ناهمگن برای الگوریتم‌های مکان‌یابی منابع میدان نزدیک در نظر گرفته نشده است.

در این مقاله مکان‌یابی منابع میدان نزدیک شامل تخمین DOA و فاصله منابع تا آرایه در محیط ناهمگن انجام می‌شود. روش ارائه شده از الگوریتم بهینه‌سازی PSO^۸ برای حداقل کردن خطای تخمین ماتریس کواریانس داده‌های دریافتی توسط آرایه استفاده کرده و به تخمین DOAها، فاصله منابع و کواریانس تلفات همبستگی محیط می‌پردازد. همان‌طور که از شبیه‌سازی‌ها

مکان‌یابی منابع^۱ در بسیاری از زمینه‌ها از جمله رادار، سونار، لرزه‌شناسی و اقیانوس‌شناسی کاربرد دارد. روش‌های زیادی از جمله MUSIC^۲ [۱] و ESPRIT^۳ [۲] برای تخمین زاویه ورود (DOA)^۴ برای منابع میدان دور و با فرض موج تخت ارائه شده است. زمانی که فاصله منابع تا آرایه نسبت به ابعاد آرایه آنتن‌ها به اندازه‌ی کافی بزرگ نباشد (ناحیه فرنل^۵ آرایه)؛ به عبارت دیگر زمانی که منابع میدان‌های نزدیک باشند شرایط تغییر کرده و فرض موج تخت برای سیگنال دریافتی معتبر نبوده و در نتیجه برای مکان‌یابی منابع میدان نزدیک، علاوه بر تخمین زاویه ورود، نیاز به تخمین فاصله منابع تا آرایه نیز داریم. تخمینی از تابع تاخیر انتشار غیرخطی با استفاده از سری تیلور (تقریب فرنل) وجود دارد. روش‌هایی برای مکان‌یابی میدان نزدیک ارائه شده است از جمله روش ML^۶ [۳]، استفاده از MUSIC دوبعدی [۴-۵]، روش پیش‌بینی خطی وزن‌دهی شده^۷ (WLP) [۶]، روش

*ایمان‌نامه نویسنده پاسخگو: zakeri@nit.ac.ir

^۱ Source Localization^۲ Multiple Signal Classification^۳ Estimation of Signal Parameters via Rotational Invariance Techniques^۴ Direction of Arrival^۵ Fresnel Region^۶ Maximum Likelihood^۷ Weighted Linear Prediction^۸ Particle Swarm Optimization

ام برای منبع i ام است و تابعی از زاویه θ_k و فاصله r_k و طول موج بوده و با رابطه زیر به دست می آید:

$$\tau_{m,k} = \frac{2\pi}{\lambda} \left(\sqrt{r_k^2 + (md)^2} - 2r_k m d \sin \theta_k - r_k \right) \quad (۲)$$

زمانی که منبع k ام در ناحیه فرنل که با فاصله r_k مشخص شده قرار داشته باشد یعنی $\frac{2D^2}{\lambda} < r_k < \frac{2D^3}{\lambda}$ ، که D دهانه آرایه و d فاصله ی بین المان ها است، می توان $\tau_{m,k}$ را با تقریب مرتبه دوم تیلور به صورت زیر نوشت:

$$\tau_{m,k} = \left(-\frac{2\pi d}{\lambda} \sin \theta_k \right) m + \left(\frac{\pi d^2}{\lambda r_k} \cos^2 \theta_k \right) m^2 + O\left(\frac{d^2}{r_k^2}\right) \quad (۳)$$

که $O\left(\frac{d^2}{r_k^2}\right)$ مراتب بالاتر سری تیلور را نشان می دهد که قابل صرف نظر است. در نتیجه بردار \mathbf{a} را می توان به صورت زیر معرفی کرد:

$$\mathbf{a}(\theta_k, r_k) = \begin{bmatrix} a_{k,-M} \\ \vdots \\ a_{k,M} \end{bmatrix} = \begin{bmatrix} \exp\left(j\left(\frac{2\pi d}{\lambda} \sin \theta_k\right)M + j\left(\frac{\pi d^2}{\lambda r_k} \cos^2 \theta_k\right)M^2\right) \\ \vdots \\ \exp\left(-j\left(\frac{2\pi d}{\lambda} \sin \theta_k\right)M + j\left(\frac{\pi d^2}{\lambda r_k} \cos^2 \theta_k\right)M^2\right) \end{bmatrix} \quad (۴)$$

ماتریس کواریانس آرایه با رابطه زیر مشخص می شود:

$$\mathbf{R} = E\{\mathbf{x}(i)\mathbf{x}^H(i)\} = \mathbf{A}\mathbf{S}\mathbf{A}^H + \sigma^2 \mathbf{I} \quad (۵)$$

که \mathbf{S} ماتریس کواریانس (توان) سیگنال های دریافتی، \mathbf{I} ماتریس $(2M+1) \times (2M+1)$ یکه، σ^2 واریانس نویز و $E\{\cdot\}$ عملگر امید ریاضی می باشد. $[\cdot]^H$ نمایانگر ترانپوز مزدوج مختلط است.

با عبور موج از محیط تغییرپذیر با زمان و تصادفی، همبستگی سطح موج کاهش می یابد و سطح موج دچار اختلال فضایی تصادفی می شود. این اختلال فضایی را می توان به صورت نویز ضربی مدل کرد که برای هر سطح موج مستقل از سطح موج های دیگر است. بنابراین سیگنال دریافتی برای المان m ام به صورت زیر بدست می آید:

$$p_m(i) = \sum_{k=1}^K \psi_{mk}(i) e^{j\phi_{mk}(i)} s_k(i) e^{j\tau_{m,k}} + n_m(i), \quad m = -M, \dots, -1, 0, 1, \dots, M \quad (۶)$$

که در آن $\psi_{mk}(i)$ و $\phi_{mk}(i)$ به ترتیب تغییرات دامنه و فاز موج k ام دریافتی توسط المان m ام در اثر عبور از محیط تصادفی است. در حالت ماتریسی خروجی به صورت زیر تعریف می شود:

$$\mathbf{p}(i) = (\mathbf{G}(i) \odot \mathbf{A})\mathbf{s}(i) + \mathbf{n}(i) \quad (۷)$$

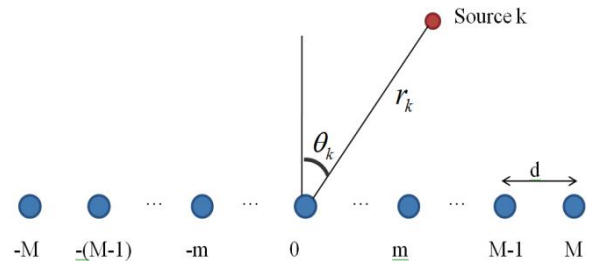
که \odot ضرب درایه به درایه (Schur-Hadamard element-by-element matrix product) و $\mathbf{G}(i)$ ماتریس $(2M+1) \times K$

نتیجه می شود روش ارائه شده خطای کمی در مکان یابی منابع میدان نزدیک در مقایسه با روش های موجود که اثر ناهمگنی را در نظر نگرفته اند، دارد.

ساختار این مقاله به شرح زیر است. در بخش دوم مدل استفاده شده برای داده ها و فرموله کرده مساله ذکر می شود. روش استفاده شده برای تخمین DOAها، فاصله منابع و کواریانس تلفات همبستگی محیط در بخش سوم آورده شده است. اثر پارامترهای منبع و محیط در تخمین توسط شبیه سازی در بخش چهارم نشان داده شده است. کارآیی روش ارائه شده و مقایسه با روش موجود در این بخش آورده شده است. بخش پنجم جمع بندی مقاله می باشد.

۲. مدل داده ها

یک آرایه خطی یکنواخت با $2M+1$ المان را در نظر می گیریم. فرض می کنیم K سیگنال باند باریک ناهمبسته با فرکانس مرکزی ω_0 که در میدان نزدیک با DOAهای $\{\theta_i\}_{i=1}^K$ و فواصل $r_i (i=1, \dots, K)$ قرار گرفته اند، وجود دارد. آرایه استفاده شده در شکل ۱ نشان داده شده است.



شکل ۱. پیکربندی آرایه خطی

در شرایط ایده آل که تمام موج ها همبسته کامل هستند خروجی آرایه به صورت زیر مدل می شود:

$$\mathbf{x}(i) = \mathbf{A}\mathbf{s}(i) + \mathbf{n}(i), \quad i = 1, \dots, N \quad (۱)$$

$$\mathbf{x}(i) = [x_{-M}(i), \dots, x_0(i), \dots, x_M(i)]^T$$

$$\mathbf{s}(i) = [s_1(i), s_2(i), \dots, s_K(i)]^T$$

$$\mathbf{n}(i) = [n_{-M}(i), \dots, n_0(i), \dots, n_M(i)]^T$$

بردار \mathbf{x} سیگنال های دریافتی توسط المان های آرایه است. بردارهای $\mathbf{s}(i)$ و $\mathbf{n}(i)$ به ترتیب بردار $K \times 1$ موج های دریافتی از منابع و بردار $(2M+1) \times 1$ مربوط به نویز گاوسی هر المان می باشد. $[\cdot]^T$ ماتریس ترانپوز است. ماتریس جهت می باشد. $\mathbf{A} = [\mathbf{a}(\theta_1, r_1), \dots, \mathbf{a}(\theta_K, r_K)]$ با ابعاد $(2M+1) \times K$ ، بردارهای $\mathbf{a}(\theta_i)$ بردارهای فرمان $(2M+1) \times 1$ با مقدار $\mathbf{a}(\theta_i) = [\exp(j\tau_{-M,k}), \dots, 1, \dots, \exp(j\tau_{M,k})]^T$ می باشند. که در آن $\tau_{m,k}$ شیفت فاز مربوط به زمان تاخیر بین المان صفرام و المان

یک است که $z=j$ باشد. از آنجایی که درایه‌های روی قطر اصلی ماتریس B برابر با یک است یعنی $b_{ii} = 1$ ، می‌توان نتیجه گرفت:

$$P = B \odot \{ASA^H\} + \sigma^2 I = B \odot R \quad (14)$$

در عمل ماتریس \hat{P} از نمونه‌برداری از خروجی آرایه تخمین زده می‌شود:

$$\hat{P} = \frac{1}{N} \sum_{i=1}^N p(i)p^H(i) \quad (15)$$

پارامترهایی که باید تخمین زده شود K عدد DOA و فاصله، K عدد توان مربوط به سیگنال‌ها، توان مربوط به نویز و واریانس تغییر فاز است.

۳. روش پیشنهادی برای تخمین

برای تخمین پارامترهای ذکر شده از تابع هدف بهینه‌سازی زیر استفاده می‌کنیم که تفاضل کواریانس داده‌های دریافتی و ماتریس کواریانس با مقادیر تخمین زده شده است:

$$\min_{\xi} \|\hat{P} - P(\xi)\|_F^2 = \min_{\xi} \text{tr} \left\{ \left(\frac{\hat{P}}{B} - R(\xi) \right)^2 \right\}, \quad (16)$$

$$\xi = [\theta_1, \dots, \theta_K, r_1, \dots, r_K, \sigma_{\phi}^2, \sigma_1^2, \dots, \sigma_K^2, \sigma^2]^T$$

در این رابطه \hat{P} ماتریس کواریانس محاسبه شده از داده‌های دریافتی آرایه است و $P(\xi)$ ماتریس کواریانس به صورت مجهول با پارامترهای زوایا، فاصله منابع، واریانس تغییر فاز، توان سیگنال و توان نویز است. برای رسیدن به مقادیر مطلوب از پارامترهای مجهول تفاضل این دو مقدار باید صفر باشد. از آنجایی که این معادله به صورت خطی قابل محاسبه نیست زمانی بهترین تخمین را داریم که تفاضل اندازه این دو حداقل یعنی صفر شود. در این رابطه \odot تقسیم درایه بر درایه، $\text{tr}(\cdot)$ عملگر محاسبه trace ماتریس، $\|\cdot\|_F$ نرم فروبنیوس و σ_i^2 توان سیگنال i ام است. از آنجایی که تعداد پارامترهایی که باید همزمان تخمین زده شوند، زیاد می‌باشد و می‌تواند در دقت تخمین تاثیر نامطلوبی داشته باشد، برخی از پارامترها را براساس پارامترهای دیگر به دست آورده و مساله را ساده تر می‌کنیم. با فرض ثابت بودن ماتریس A و B می‌توان سیگنال و نویز را براساس پارامترهای دیگر به دست آورد [۱۲].

$$\hat{S} = A^+ (\hat{P} \oslash B - \hat{\sigma}^2 I) A^{+H} \quad (17)$$

$$\hat{\sigma}^2 = \frac{1}{(2M+1)-K} \text{tr}\{P_A^{\perp} (\hat{P} \oslash B)\} \quad (18)$$

$$A^+ = (A^H A)^{-1} A^H, \quad P_A = A A^+, \quad P_A^{\perp} = I - P_A \quad (19)$$

با این روابط می‌توان رابطه (۱۶) را ساده کرد با قرار دادن ماتریس S در تابع هدف داریم:

اختلال موج تصادفی است که درایه‌های آن با نوسانات دامنه و فاز موج توصیف می‌شود:

$$[G(i)]_{mk} = g_{mk}(i) = \psi_{mk}(i) e^{j\phi_{mk}(i)} \quad (8)$$

ضرایب همبستگی $g_{mk}(i)$ و $g_{jk}(i)$ با b_{mj} نشان داده می‌شود که تابع همبستگی فضایی نامیده می‌شود:

$$b_{mj} = E [g_{mk}(i) g_{jk}^*(i)] / \{E [|g_{mk}(i)|^2] E [|g_{jk}(i)|^2]\}^{1/2} \quad (9)$$

که b_{mj} مستقل از سطح موج و زمان است و برای همه جهت‌ها یکسان فرض می‌شود [۱۲]. با فرض مدل همبستگی ایزوتروپ، b_{mj} تنها وابسته به فاصله میان عنصر m ام و j ام خواهد بود که برای آرایه خطی $b_{mj} = b_{m-j} = b(m-j)$ [۱۲-۱۳]. بدون از دست دادن کلیت مسئله می‌توان $b(0)=1$ در نظر گرفت در نتیجه ماتریس همبستگی فضایی به صورت زیر خواهد آمد که یک ماتریس $(2M+1) \times (2M+1)$ است که $(2M+1)$ تعداد المان‌های آرایه است:

$$B = \begin{bmatrix} 1 & b(1) & \dots & b((2M+1)-1) \\ b^*(1) & 1 & \dots & b((2M+1)-2) \\ \dots & \dots & \dots & \dots \\ b^*((2M+1)-1) & b^*((2M+1)-2) & \dots & 1 \end{bmatrix} \quad (10)$$

که دارای تعداد $2((2M+1)-1)$ پارامتر است.

با فرض ثابت بودن دامنه تغییرات و تغییرات گاوسی برای فاز با واریانس تغییر فاز σ_{ϕ}^2 برای هر درایه نسبت به درایه مجاور، تابع همبستگی فضایی به صورت زیر خواهد شد [۱۲-۱۴]:

$$b(m-j) = e^{-\sigma_{\phi}^2 |m-j|^2 / 2} \quad (11)$$

از آنجایی که محیط ایزوتروپ است در همه جهات یکنواخت بوده در نتیجه پارامتر مورد نظر بین المان‌ها تنها به فاصله بین آن‌ها بستگی دارد نه محل قرارگیری المان‌ها. به همین دلیل برای آرایه خطی یکنواخت که فاصله المان‌ها ثابت است، رابطه (۱۱) برقرار است. اثبات این رابطه در مقاله [۱۴] آورده شده است. با مقایسه ماتریس کواریانس در شرایط ذکر شده و حالت ایده آل داریم:

$$P = E[p(i)p^*(i)], \quad R = E[x(i)x^*(i)] = ASA^H + \sigma^2 I \quad (12)$$

با اضافه شدن اختلالات تصادفی به سطح موج و از آنجایی که این اختلالات مستقل از منبع موج فرض شده است می‌توان رابطه کواریانس در حالت اخیر را به صورت زیر نوشت:

$$[P]_{ij} = b_{ij} [ASA^H]_{ij} + \delta(i,j) \sigma^2 \quad \text{where } \delta(i,j) = \begin{cases} 1, & i=j \\ 0, & i \neq j \end{cases} \quad (13)$$

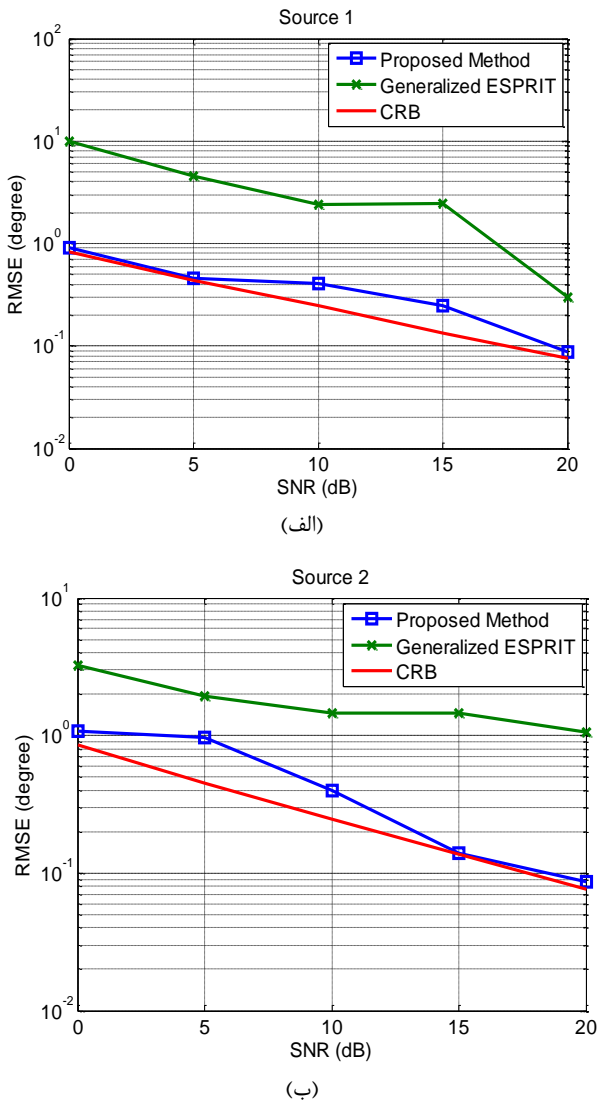
$\delta(i,j)$ تابع ضربه است که در همه نقاط صفر و تنها زمانی

ESPRIT که برای حالت ایده‌آل معرفی شده در حضور ناهمگنی محیط خطای زیادی از خود نشان می‌دهد در صورتی که روش ارائه شده خطای بسیار کمی دارد و نزدیک CRB است.

شکل ۳ ریشه میانگین مربع خطای تخمین فاصله برحسب درصد برای هر منبع در اثر تغییر SNR را نشان می‌دهد. ریشه میانگین مربع خطای تخمین فاصله برحسب درصد را با رابطه زیر تعریف می‌کنیم:

$$RRMSE = \sqrt{\frac{\sum_{n=1}^{N_{MC}} |r - \hat{r}|^2 / |r|^2}{N_{MC}}} \times 100\% \quad (22)$$

که در آن N_{MC} تعداد تکرارهای مونت کارلو، r فاصله واقعی و \hat{r} فاصله تخمین‌زده شده است. همان‌طور که از شکل‌ها پیداست روش ارائه‌شده خطای کمی در تخمین فاصله منبع سیگنال تا آرایه دارد.



شکل ۲. تغییرات RMSE تخمین زاویه ورود سیگنال برحسب SNR (الف) منبع اول (ب) منبع دوم

$$\min_{\xi} \text{tr} \left\{ \left(\hat{\mathbf{P}} \oslash \mathbf{B} - \mathbf{R}(\xi) \right)^2 \right\} = \min_{\xi} \text{tr} \left\{ \left(\hat{\mathbf{P}} \oslash \mathbf{B} - \mathbf{A} \hat{\mathbf{S}} \mathbf{A}^H + \hat{\sigma}^2 \mathbf{I} \right)^2 \right\} = \min_{\xi} \text{tr} \left\{ \left(\hat{\mathbf{P}} \oslash \mathbf{B} - \mathbf{A} \mathbf{A}^H \left(\hat{\mathbf{P}} \oslash \mathbf{B} - \hat{\sigma}^2 \mathbf{I} \right) \mathbf{A}^H \mathbf{A}^H + \hat{\sigma}^2 \mathbf{I} \right)^2 \right\} \quad (20)$$

از آن‌جایی که $\mathbf{A}^H \mathbf{A}^H = ((\mathbf{A}^H \mathbf{A})^{-1} \mathbf{A}^H)^H \mathbf{A}^H = \mathbf{A} \mathbf{A}^H = \mathbf{P}_A$ و با قراردادن رابطه (۱۸) به جای نویز، رابطه به صورت زیر در خواهد آمد:

$$\min_{\eta} \text{tr} \left\{ \left(\hat{\mathbf{P}} \oslash \mathbf{B} - \mathbf{P}_A \left(\hat{\mathbf{P}} \oslash \mathbf{B} - \frac{1}{(2M+1)-K} \text{tr} \{ \mathbf{P}_A^{\perp} (\hat{\mathbf{P}} \oslash \mathbf{B}) \} \mathbf{I} \right) \mathbf{P}_A - \frac{1}{(2M+1)-K} \text{tr} \{ \mathbf{P}_A^{\perp} (\hat{\mathbf{P}} \oslash \mathbf{B}) \} \mathbf{I} \right)^2 \right\}, \eta = [\theta_1, \dots, \theta_K, r_1, \dots, r_K, \sigma_{\phi}^2]^T \quad (21)$$

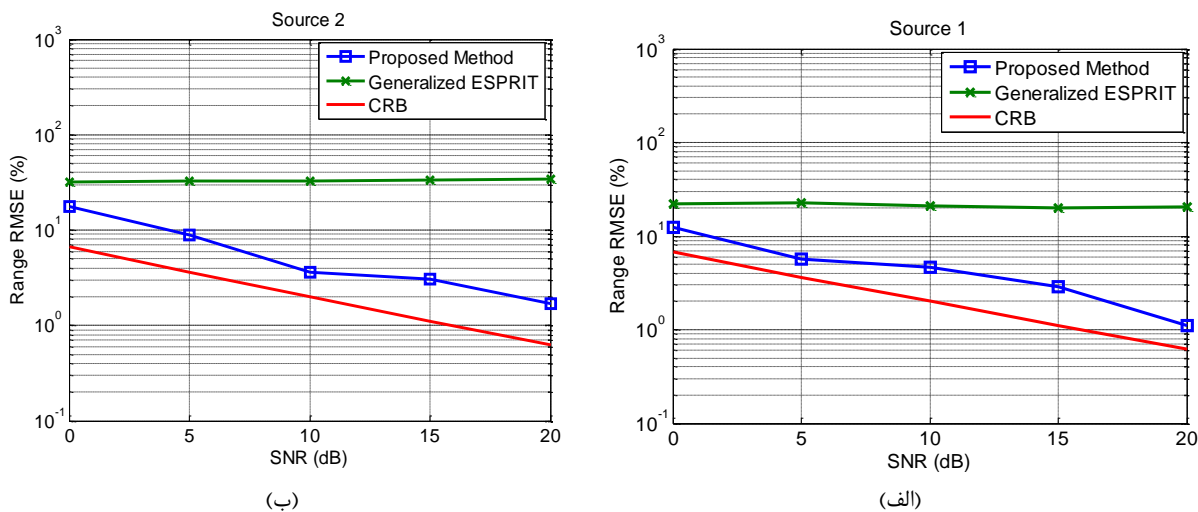
با تخمین پارامترهای η از رابطه (۲۰) توسط الگوریتم بهینه‌سازی PSO و جایگذاری آن در روابط (۱۷) و (۱۸)، توان نویز و سیگنال‌ها نیز به دست خواهد آمد.

۴. شبیه‌سازی

در این قسمت کارایی روش ارائه‌شده توسط شبیه‌سازی نشان داده می‌شود. آرایه خطی با ۹ المان و با فاصله 0.2λ در نظر گرفته شده است. در شبیه‌سازی‌ها دو سیگنال در زوایای θ_1 و θ_2 با فاصله r_1 و r_2 فرض شده است. سیگنال‌ها و نویز دارای توزیع گاوسی با میانگین صفر و واریانس سیگنال‌ها برابر σ_1^2 و σ_2^2 و واریانس نویز برابر σ^2 می‌باشند. نسبت سیگنال به نویز (SNR) برای سیگنال k ام با $10 \log \left(\frac{\sigma_k^2}{\sigma_n^2} \right)$ تعریف می‌شود. در شبیه‌سازی‌ها واریانس افزایش تغییر فاز σ_{ϕ}^2 برابر 0.25 در نظر گرفته شده که معادل تلفات همبستگی در حدود -1.086 dB به‌ازای یک طول موج فاصله است. تعداد تکرار مونت کارلو برای هر شبیه‌سازی ۵۰۰ می‌باشد. برای بهینه‌سازی تابع هدف از الگوریتم PSO استفاده شده است. نتایج در هر مرحله با روش استفاده شده [Generalized ESPRIT] برای مکان‌یابی ارائه‌شده در مرجع [۱۰-۱۱] و همچنین حداقل خطای تخمین (CRB^۱) [۱۸] مقایسه شده است.

در شبیه‌سازی اول دو منبع در زوایای -8° و 12° به ترتیب در فواصل 1.8λ و 3λ قرار داده شده است. اثر تغییر SNR بر روی ریشه میانگین مربع خطای (RMSE) تخمین زاویه ورود برای هر منبع در شکل ۲ نشان داده شده است. تعداد نمونه‌ها برابر ۱۰۰ در نظر گرفته شده است. همان‌طور که از شکل پیداست با افزایش SNR همواره خطای تخمین کاهش می‌یابد. روش Generalized

^۱ Cramer-Rao Lower Bound (CRB)



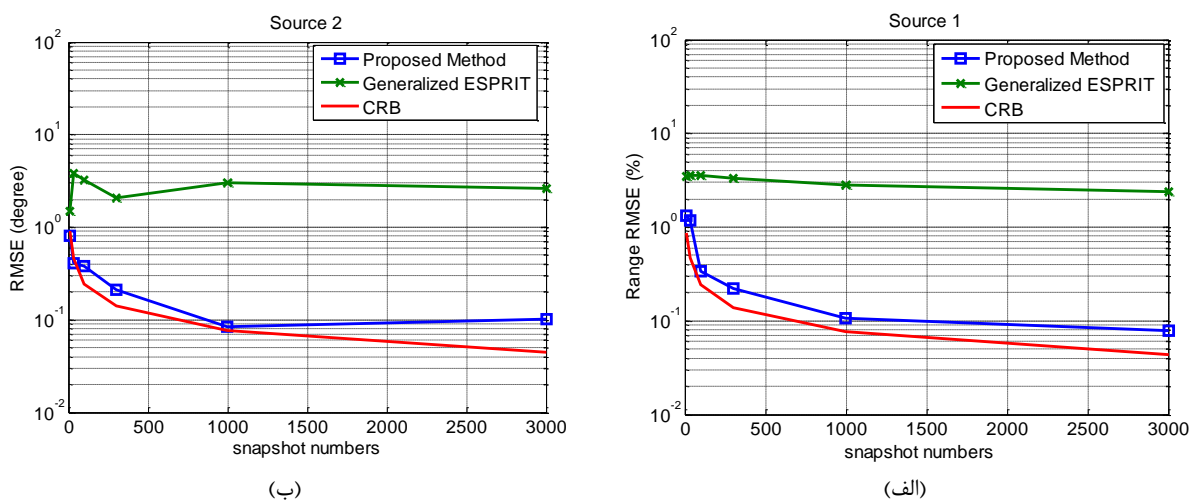
شکل ۳. تغییرات RMSE فاصله منابع بر حسب SNR (الف) منبع اول (ب) منبع دوم

تخمین فاصله برای هر منبع را نشان داده می‌دهد. که روش ارائه‌شده خطای کمتری از خود نشان می‌دهد.

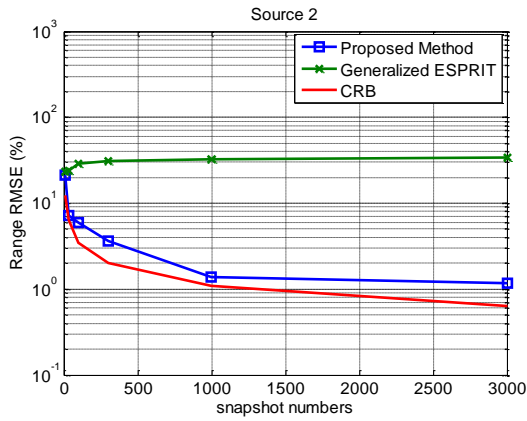
اثر واریانس تغییر فاز تلفات همبستگی بر روی ریشه میانگین مربع خطای تخمین زاویه ورود و فاصله برای هر منبع به ترتیب در شکل‌های ۶ و ۷ نشان داده شده‌است. در این شبیه‌سازی SNR=10 dB و تعداد نمونه‌ها ۱۰۰ فرض شده‌است. خطای روش ارائه‌شده بسیار کمتر از روش Generalized ESPRIT است.

اثر تعداد نمونه‌ها بر ریشه میانگین مربع خطای تخمین زاویه ورود برای هر منبع در شکل ۴ نشان داده شده‌است. در این شبیه‌سازی SNR=10 dB فرض شده‌است. هر چه تعداد نمونه‌ها بیشتر باشد الگوریتم‌ها خطای کمتری در تخمین از خود نشان می‌دهند. خطای روش ارائه‌شده بسیار کمتر از روش Generalized ESPRIT است.

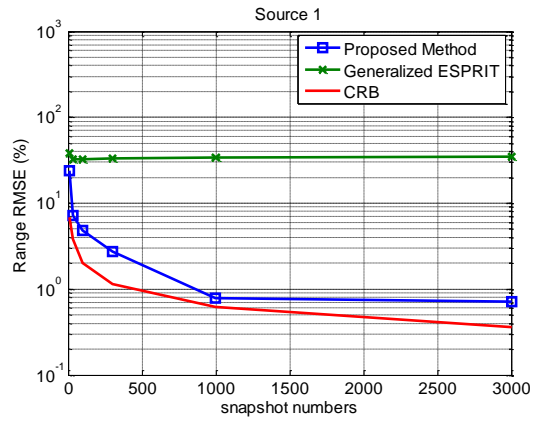
شکل ۵ اثر تعداد نمونه‌ها بر روی ریشه میانگین مربع خطای



شکل ۴. تغییرات RMSE تخمین زاویه ورود سیگنال بر حسب تعداد نمونه‌ها (الف) منبع اول (ب) منبع دوم

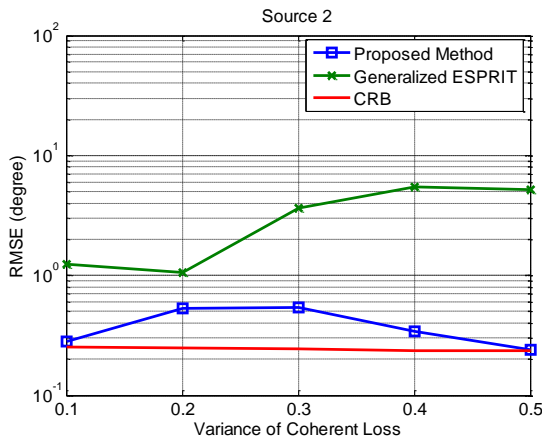


(ب)

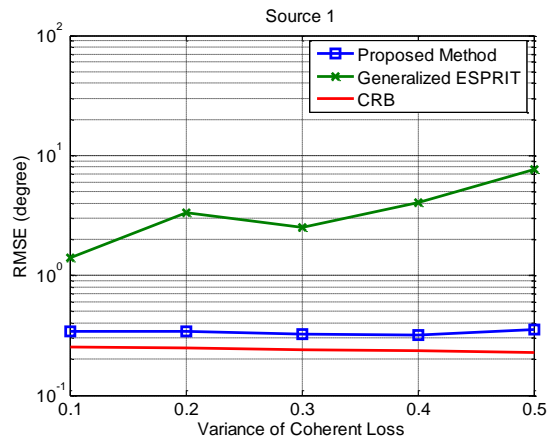


(الف)

شکل ۵. تغییرات RMSE فاصله منابع بر حسب تعداد نمونه‌ها (الف) منبع اول (ب) منبع دوم

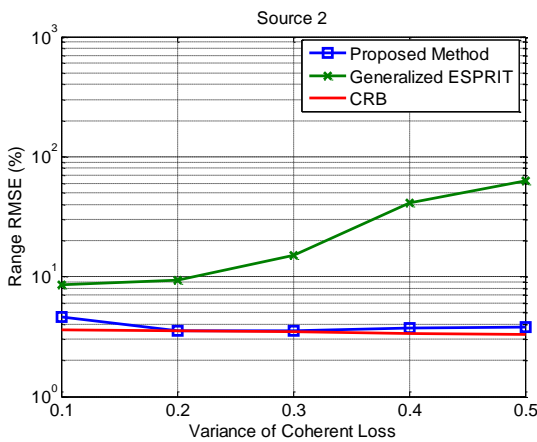


(ب)

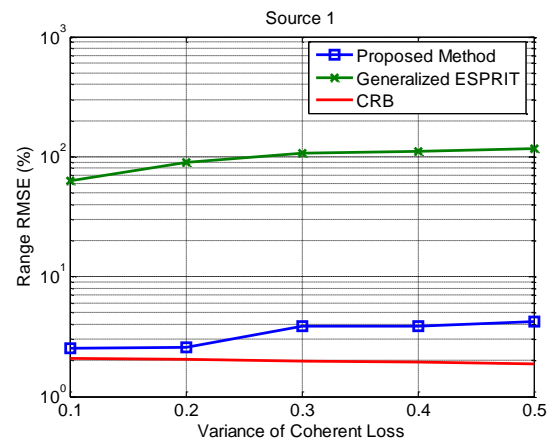


(الف)

شکل ۶. تغییرات RMSE تخمین زاویه ورود سیگنال بر حسب واریانس تغییر فاز تلفات همبستگی (الف) منبع اول (ب) منبع دوم



(ب)



(الف)

شکل ۷. تغییرات RMSE فاصله منابع بر حسب واریانس تغییر فاز تلفات همبستگی (الف) منبع اول (ب) منبع دوم

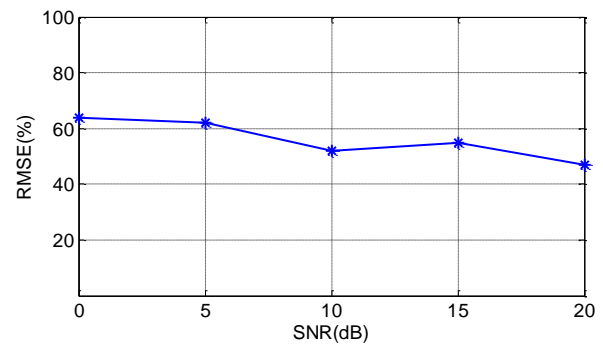
پارامتری را به‌عنوان تابع هدف در نظر گرفته و از الگوریتم بهینه‌سازی PSO برای حداقل کردن تابع هدف استفاده می‌کند. این تحقیق به تخمین DOAها، فاصله منابع و کواریانس تلفات همبستگی محیط، توان سیگنال‌های دریافتی و توان نویز محیط می‌پردازد. همان‌طور که از شبیه‌سازی‌ها نتیجه می‌شود روش‌های موجود که اثر ناهمگنی را در نظر نگرفته‌اند، خطای زیادی را در محیط ناهمگن که در بسیاری از کاربردهای راداری و سوناری اتفاق می‌افتد، دارد در صورتی که روش ارائه شده خطای کمی در مکان‌یابی منابع میدان نزدیک دارد.

۶. مراجع

- [1] R. O. Schmidt, "Multiple emitter location and signal parameter estimation," *IEEE Trans. Antennas Propag.*, vol. 34, no. 3, pp. 276-280, 1986.
- [2] R. Roy, A. Paulraj, and T. Kailath, "ESPRIT-A subspace rotation approach to estimation of parameters of cisoids in noise," *IEEE Trans. Acoust., Speech, Signal Process.*, vol. 34, no. 5, pp. 1340-1342, 1986.
- [3] J. C. Chen, R. E. Hudson, and Y. Kung, "Maximum likelihood source localization and unknown sensor location estimation for wideband signals in the near-field," *IEEE Trans. Signal Process.*, vol. 50, no. 8, pp. 1843-1854, Aug. 2002.
- [4] Y. D. Huang and M. Barkat, "Near-field multiple source localization by passive sensor array," *IEEE Trans. Antennas and Propagat.*, vol. 39, no. 7, pp. 968-975, 1991.
- [5] J. Liang and D. Liu, "Passive localization of mixed near-field and far field sources using two-stage music algorithm," *IEEE Trans. Signal Process.*, vol. 58, no. 1, pp. 108-120, Jan. 2010.
- [6] E. Grosicki, K. Abed-Meraim, and Y. Hua, "A weighted linear prediction method for near-field source localization," *IEEE Trans. Signal Process.*, vol. 53, no. 10, pp. 3651-3660, 2005.
- [7] N. Yuen and B. Friedlander, "Performance analysis of higher order ESPRIT for localization of near-field sources," *IEEE Trans. Signal Process.*, vol. 46, pp. 709-719, 1998.
- [8] J. Jiang, F. Duan, J. Chen, Y. Li, and X. Hua, "Mixed Near-Field and Far-Field Sources Localization Using the Uniform Linear Sensor Array," *IEEE Sensors J.*, vol. 13, no. 8, 2013.
- [9] J. Liang and D. Liu, "Passive localization of near-field sources using cumulant," *IEEE Sensors J.*, vol. 9, no. 8, pp. 953-960, Aug. 2009.
- [10] W. Zhi and M. Y.-W. Chia, "Near-field source localization via symmetric subarrays," *IEEE Signal Process. Lett.*, vol. 14, no. 4, pp. 409-412, Jun. 2007.
- [11] G. Liu, and X. Sun, "Two-Stage Matrix Differencing Algorithm for Mixed Far-Field and Near-Field Sources Classification and Localization," *IEEE Sensors J.*, vol. 14, no. 6, 2014.
- [12] A. B. Gershman, C. F. Mecklenbrauker, and J. F. Bohme, "Matrix fitting approach to direction of arrival

اثر تغییر SNR بر روی تخمین پارامتر واریانس تغییر فاز تلفات همبستگی در شکل ۸ نشان داده شده‌است. همان‌طور که در شکل دیده می‌شود با افزایش SNR خطای تخمین این پارامتر نیز کاهش می‌یابد. ریشه میانگین مربع خطای تخمین پارامتر واریانس تغییر فاز بر حسب درصد را با رابطه زیر تعریف می‌کنیم:

$$RMSE = \sqrt{\left(\sum_{n=1}^{N_{MC}} |\sigma_{\phi}^2 - \hat{\sigma}_{\phi}^2|^2 / |\sigma_{\phi}^2|^2\right) / N_{MC}} \times 100\% \quad (23)$$



شکل ۸. تغییرات RMSE پارامتر واریانس تغییر فاز بر حسب SNR

برای نشان دادن حجم محاسبات و مقایسه پیچیدگی روش‌های ذکر شده، زمان لازم برای انجام شبیه‌سازی و تخمین در هر کدام از سناریوهای موجود در مقاله برای ۵۰۰ تکرار مونت‌کارلو، در جدول ۱ برای مقایسه قرار داده شده‌است. برای انجام شبیه‌سازی‌ها از لپ‌تاپ با مشخصات CPU Core2 2.5GHz، 4GB RAM و 6MB Cache استفاده شده‌است.

جدول ۱. زمان لازم برای به‌دست آوردن نمودارها برای ۵۰۰ تکرار مونت‌کارلو (ثانیه)

روش Generalized ESPRIT	روش ارائه‌شده	روش نمودار
۳۷۵	۱۸۳۵	تغییرات RMSE تخمین زاویه ورود سیگنال بر حسب SNR
۴۵۳	۲۱۳۰	تغییرات RMSE تخمین زاویه ورود سیگنال بر حسب تعداد نمونه‌ها
۴۳۱	۱۸۱۲	تغییرات RMSE تخمین زاویه ورود سیگنال بر حسب واریانس تغییر فاز تلفات همبستگی

۵. نتیجه‌گیری

الگوریتم‌هایی که برای مکان‌یابی منابع ارائه شده، در شرایط ایده‌آل بیان شده‌اند و در حضور محیط‌های واقعی کارایی مناسبی از خود نشان نمی‌دهند. در این مقاله روشی برای مکان‌یابی منابع میدان نزدیک شامل تخمین زاویه ورود و فاصله منابع تا آرایه در محیط ناهمگن ارائه شده‌است. روش ارائه‌شده مربع خطای تفاضل ماتریس کواریانس داده‌های دریافتی و ماتریس کواریانس

- estimation with imperfect spatial coherence of wavefronts," IEEE Trans. Signal Process., vol. 45, no. 7, pp. 1894-1899, 1997.
- [13] J. Ringelstein, A. B. Gershman, and J. F. Bohme, "Direction finding in random inhomogeneous media in the presence of multiplicative noise," IEEE Signal Process. Lett., IEEE, vol. 7, no. 10, pp. 269-272, 2000.
- [14] B. G. Song and J. A. Ritcey, "Angle of arrival estimation of plane waves propagating in random media," J. Acoust. Soc. Amer., vol. 99, no. 3, pp. 1370-1379, 1996.
- [15] S. Shahbazpanahi, S. Valaee and A. B. Gershman, "A covariance fitting approach to parametric localization of multiple incoherently distributed sources", IEEE Trans. Signal Process., vol. 52, no. 3, pp. 592-600, 2004.
- [16] L. A. Chernov, Wave propagation in a random medium. New York, USA: McGraw-Hill, 1960.
- [17] A. Paulraj and T. Kailath, "Direction of arrival estimation by eigenstructure methods with imperfect spatial coherence of wavefronts," J. Acoust. Soc. Amer., vol. 83, pp. 1034-1040, Mar. 1988.
- [18] E. Grosicki, K. Abed-Meraim, and Y. Hua, "A weighted linear prediction method for near-field source localization," IEEE Trans. SignalProcess., vol. 53, pp. 3651-3660, Oct. 2005.

Near-Field Source Localization in Non-homogeneous Environments

A. Gholipour, B. Zakeri^{*}, Kh. Mafinezhad

Babol Noshirvani University of Technology

(Received: 11/10/2015, Accepted: 02/07/2016)

Abstract

Source localization is an essential part of the array signal processing used in the radar, sonar, seismology and oceanography. The performance of the current methods degrades substantially in practical situations. One of the situations, which decreases the performance, is the coherent loss caused by the propagation of the wavefront through random non-homogeneous media. In this paper, a near-field source localization algorithm including direction of arrival and range estimation is presented in non-homogeneous media. Results show that the proposed algorithm has a lower estimation error in source localization of near field compared with the current ones.

Keywords: Source Localization, Direction-of-Arrival, Nonhomogeneous Media, Imperfect Spatial Coherence, Multiplicative Noise.